

УДК 519.2

ЭНТРОПИЙНЫЙ АНАЛИЗ СТОЙКОСТИ ИТЕРАЦИОННОГО КРИПТОГРАФИЧЕСКОГО ПРЕОБРАЗОВАНИЯ ФЕЙСТЕЛЯ

О.С.КИВЕЛЬ, Ю.С.ХАРИН

НИИ прикладных проблем математики и информатики, Белорусский государственный университет, г. Минск, 220030, Республика Беларусь

0. Введение

Согласно теории Шеннона [1] совершенные криптосистемы должны использовать в качестве ключевой последовательности равномерно распределенную случайную последовательность (РРСП), которую на практике называют «чисто случайной последовательностью». РРСП определяется двумя вероятностными свойствами: случайные величины произвольного набора независимы в совокупности; любая случайная величина имеет дискретное равномерное распределение вероятностей [2, 3]. Генерация «чисто случайной» последовательности подразумевает высокую сложность и значительные материальные затраты. В сложившейся в мире ситуации массового применения шифрования, связанной с использованием сети Интернет и передачи информации с ее помощью, не всегда выполняется условие равномерного распределения случайной последовательности [3]. Это удешевляет безопасность, но служит причиной ухудшения стойкости используемых криптосистем. Данная статья развивает результаты статьи [4], в которой исследовались вероятностные характеристики итерационного криптографического преобразования Фейстеля в зависимости от вероятностного распределения ключа. Здесь исследуем проблему стойкости со стороны энтропийных характеристик.

1. Математическая модель.

Интерес для исследования представляет вопрос зависимости результирующего шифртекста от фиксированного входного сообщения с учетом ключевого расписания и его энтропийных характеристик. Примем обозначения для математического описания итерационного криптографического преобразования Фейстеля:

$V \in \{0,1\}$ – двоичный алфавит;

$X = (X_1, \dots, X_N) \in V^N$ – произвольный фиксированный текст, представляющий собой последовательность символов из алфавита V ;

$Y^{(t)} = (Y_1^{(t)}, \dots, Y_N^{(t)}) \in V^N$ – результат преобразования исходного текста X после t тактов;

$K \in V^M$, $K = (K_1 \parallel K_2 \parallel \dots \parallel K_L)$, $K_i \in V^m$, $i = 1, 2, \dots, L$, $M = L \cdot m$, – ключ, разбитый на L подключей $K_1, \dots, K_L \in V^m$ длины m ;

$\{k_1, \dots, k_L, k_{L+1}, \dots, k_{L+\tau}\}$ – ключевое расписание для $L + \tau$ тактов алгоритма шифрования, причем подключи имеют длину m и начиная с $L + 1$ -го подключа «повторяются»:

$k_t \in \{K_1, \dots, K_L\}$, $t = L + 1, \dots, L + \tau$,

или в более общей ситуации функционально выражаются через K_1, \dots, K_L :

$k_t = \mathcal{X}_i(K_1, \dots, K_L)$, $t = L + 1, \dots, L + \tau$, (1)

где $\mathcal{X}_t(\cdot): V^{mL} \rightarrow V^m$ – заданная детерминированная функция;

$$Y^{(t)} = (Y_1^{(t)}, \dots, Y_N^{(t)}) = F_x(k_1, \dots, k_t) = G(Y^{(t-1)}; k_t) \in V^N, \quad t = 1, 2, \dots, L + \tau, \quad (2)$$

– преобразование исходного текста $X \in V^N$ после t тактов, где $Y^{(0)} ::= X$, $F_x(k_1, \dots, k_t)$ – преобразование Фейстеля на t -ом такте, а $G(\cdot)$ – тактовая функция;

$$Y^{(L+\tau)} = F_x(k_1, \dots, k_{L+\tau}) \text{ – выходной шифртекст.}$$

2. Исследование динамики энтропии случайного вектора $Y^{(t)}$.

Для анализа стойкости криптографического преобразования $F_x(\cdot)$, определяемого (2), будем использовать теоретико-информационный подход Шеннона [1, 2].

Пусть K_1, K_2, \dots, K_L независимые и одинаково распределенные случайные векторы (подключи) с некоторым распределением вероятностей:

$$P\{K_i = J\} = p_J, \quad J \in V^m.$$

Обозначим энтропию Шеннона для подключа K_1 через $h = H\{K_1\}$:

$$H\{K_1\} = - \sum_{J \in V^m} p_J \cdot \log_2 p_J.$$

Учитывая, что V – двоичный алфавит, имеем оценку энтропии h : $0 \leq h \leq m$. В силу независимости и одинаковой распределенности K_1, K_2, \dots, K_L энтропия каждого подключа принимает значение h .

Теорема 1. Если $t \cdot h$ и $L \cdot h$ не превосходит N , а K_1, K_2, \dots, K_L независимые и одинаково распределенные случайные векторы с энтропией h и ключевым расписанием, удовлетворяющим (1), то

$$H\{k_1, \dots, k_t\} = \begin{cases} t \cdot h, & \text{если } 0 \leq t \leq L, \\ L \cdot h, & \text{если } L + 1 \leq t \leq L + \tau. \end{cases}$$

Доказательство. По свойству аддитивности энтропии [5] при $1 \leq t \leq L$ получаем:

$$H\{k_1, \dots, k_t\} = H\{k_1\} + \dots + H\{k_t\} = \underbrace{h + \dots + h}_t = t \cdot h.$$

Так как согласно (1) подключа начиная с $L + 1$ функционально выражаются через K_1, \dots, K_L , то учитывая, что при дискретном функциональном преобразовании энтропия не возрастает [5], для $L + 1 \leq t \leq L + \tau$ имеем:

$$H\{k_1, \dots, k_t\} = H\{k_1\} + \dots + H\{k_L\} + H\{k_{L+1}\} + \dots + H\{k_{L+\tau}\} = \underbrace{h + \dots + h}_L = L \cdot h.$$

Теорема 2. Если имеет место итерационное преобразование (2) и выполняются условия Теоремы 1, то при фиксированном $X \in V^N$ для энтропии случайного вектора $Y^{(t)}$ справедливо соотношение:

$$H\{Y^{(t)}\} \leq \min \left\{ N, \begin{cases} t \cdot h, & \text{если } 0 \leq t \leq L, \\ L \cdot h, & \text{если } L + 1 \leq t \leq L + \tau. \end{cases} \right\}.$$

Доказательство. k_1, \dots, k_t подвергаются дискретному функциональному (ДФП) преобразованию $F_x(k_1, \dots, k_t)$. В силу теоремы о ДФП энтропии [5] и Теоремы 1 получим:

$$H\{Y^{(t)}\} = H\{F_x(k_1, \dots, k_t)\} \leq H\{k_1, \dots, k_t\} = \begin{cases} t \cdot h, & \text{если } 0 \leq t \leq L, \\ L \cdot h, & \text{если } L + 1 \leq t \leq L + \tau. \end{cases}$$

С другой стороны энтропия случайного вектора $Y^{(t)}$ принимает максимальное значение при равномерном распределении вероятностей k_1, \dots, k_t (энтропия Хартли):

$$H\{Y^{(t)}\} = H\{F_x(k_1, \dots, k_t)\} \leq N.$$

Следствие. Если в условиях Теоремы 2 существует $1 \leq l^* \leq L$ такое, что $m \cdot l^* = N$

и функция $Y^{(l^*)} = F_x(k_1, \dots, k_{l^*})$ является биекция $Y^{(l^*)} \leftrightarrow (k_1, \dots, k_{l^*})$, то

$$H\{Y^{(t)}\} = \begin{cases} t \cdot h, & \text{если } 1 \leq t \leq l^*, \\ \leq N, & \text{если } l^* \leq t \leq L + \tau. \end{cases}$$

Доказательство. В силу Теоремы 2 и $L \cdot h < N$ имеем:

$$H\{Y^{(t)}\} = \begin{cases} t \cdot h, & \text{если } 0 \leq t \leq L, \\ \leq N, & \text{если } L + 1 \leq t \leq L + \tau. \end{cases}$$

Учитывая утверждение (3), равенство $M = L \cdot m$ и биективность функции $Y^{(l^*)} = F_x(k_1, \dots, k_{l^*})$, получаем:

$$H\{Y^{(t)}\} = \begin{cases} t \cdot h, & \text{если } 1 \leq t \leq l^*, \\ \leq N, & \text{если } l^* \leq t \leq L + \tau. \end{cases}$$

Из Теоремы 2 и Следствия заключаем, что линейный рост энтропии $H\{Y^{(t)}\}$ наблюдается начиная с такта $t = 1$ по l^* -ый такт. С такта $t = l^* + 1$ по $t = L$ скорость роста энтропии снижается и зависит от конкретного вида $G(\cdot)$, а с $t = L + 1$ по $t = L + \tau$ энтропия не изменяется. Эта динамика энтропии $H\{Y^{(t)}\}$ иллюстрируется на рисунке 1.

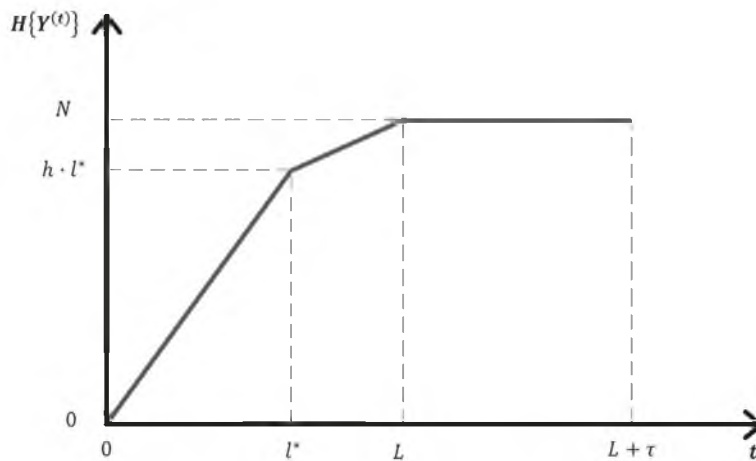


Рисунок 1. Рост энтропии $H\{Y^{(t)}\}$ зависимости от номера такта t

Рассмотрим некоторые частные случаи.

Случай 1. Если $h = m$, т.е. энтропия подклоча равна максимальному возможному значению, то в силу (3) на такте номер $t = l^* \leq L$ энтропия $H\{Y^{(t)}\}$ достигает максимально возможное значение (см. рис. 2):

$$\max\{H\{Y^{(l^*)}\}\} = N.$$

В этом случае линейный рост энтропии $H\{Y^{(t)}\}$ наблюдается с l -го по l^* -ый такт, и далее $t = l^* + 1$ по $t = L + \tau$ энтропия не изменяется и равна N .

Отметим, что в силу (3):

$$l^* = \frac{N}{m}$$

Пример 1.1. Для ГОСТ 28147-89 [2]:

$$N = 64, L = 8, m = 32, M = 256, \tau = 24, l^* = 2.$$

Пример 1.2. Для государственного стандарт симметричного шифрования и контроля целостности Республики Беларусь [6]:

$$N = 128, L = 8, m = 32, M = 256, \tau = 46, l^* = 4.$$

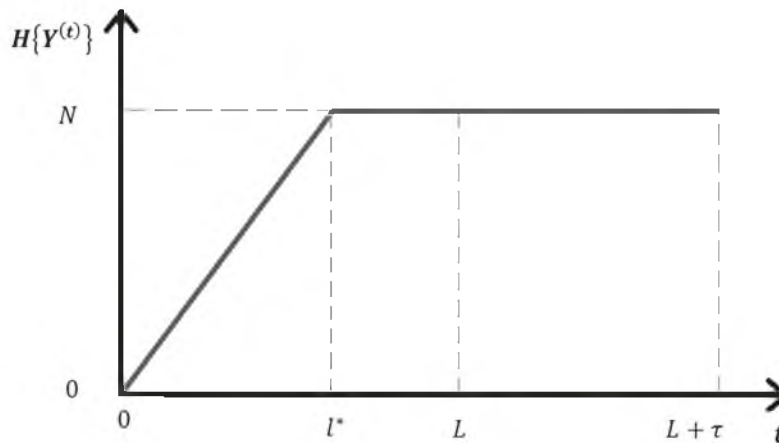


Рисунок 2. Случай $h = m$

Случай 2. Если же выполняется $h \cdot < L < N$, тогда динамика энтропии $Y^{(t)}$ описывается следующим соотношением:

$$H\{Y^{(t)}\} = \begin{cases} t \cdot h, & \text{если } t \in \{1, \dots, L\}, \\ h \cdot L \leq N, & \text{если } t \in \{L+1, \dots, L+\tau\}. \end{cases}$$

Пример 2.1. Для ГОСТ 28147-89 рассмотрим такие ключевые последовательности, что $h = 1$. Тогда динамика энтропии $Y^{(t)}$ имеет вид:

$$H\{Y^{(t)}\} = \begin{cases} t, & \text{если } t \in \{1, \dots, 8\}, \\ 8, & \text{если } t \in \{9, \dots, 32\}. \end{cases}$$

Такая ситуация может возникать следующим образом. Пусть $\xi_1, \dots, \xi_8 \in V$ – независимые одинаково распределенные случайные величины Бернулли с распределением вероятностей $\mathcal{L}\{\xi_i\} = Bi\left(1, \frac{1}{2}\right)$, $i = 1, \dots, 8$ и $K_i = (\xi_i, \bar{\xi}_i, \xi_i, \bar{\xi}_i, \dots, \xi_i, \bar{\xi}_i)$, где $\bar{\xi}_i = 1 - \xi_i$, то зависимость между $H\{Y^{(t)}\}$ и t будет линейной до $L = 8$ такта, а далее энтропия перестанет изменяться (см. рис. 3).

3. Связь вероятности ошибки прогнозирования с энтропией

Энтропийные свойства криптографического преобразования Фейстеля, рассмотренные в предыдущих разделах, связаны со стойкостью криптосистемы к криптоанализу. Если криптопреобразование таково, что при заданном распределении вероятностей случайного ключа $P(K)$ распределение вероятностей $P\{Y|X\} \equiv 2^{-N}$ является равномерным, то оно

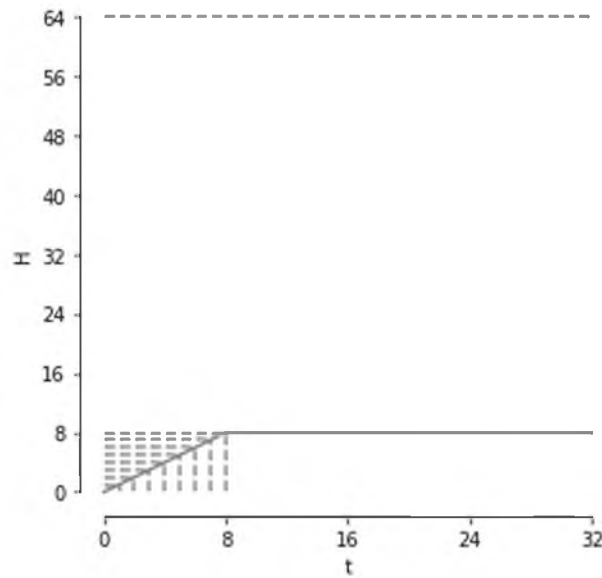


Рисунок 3. $h = 1$

является криптостойким, и, наоборот, если $P\{Y | X\} \in \{0, 1\}$ равно или 0, или 1, то Y и X связаны детерминированно, то преобразование имеет нулевую криптостойкость. Поэтому исследуем вероятность ошибки предсказания Y по X при случайном ключе в зависимости от энтропии ключа $H\{K\}$.

Рассмотрим простейший случай, когда Y принимает лишь два значения, т.е. $Y \in V = \{0, 1\}$. Тогда при фиксированном X случайная величина $Y \in \{0, 1\}$ имеет распределение Бернулли $Bi(1, p)$:

$$p = P\{Y = 1\}, \quad q = 1 - p = P\{Y = 0\},$$

где p – некоторый параметр, вообще говоря зависящий от X .

Пусть при фиксированном X получена выборка $\{Y_1, \dots, Y_n\}$ объема n . Построим состоятельную, асимптотически нормальную, несмещенную оценку:

$$\hat{p} = \frac{1}{n} \sum_{i=1}^n Y_i \in [0, 1].$$

Теорема 3. Если при фиксированном X случайная величина $Y \in \{0, 1\}$ имеет распределение Бернулли $Bi(1, p)$, $p = P\{Y = 1\}$, $q = 1 - p = P\{Y = 0\}$, то наименьшая вероятность ошибки прогнозирования равна

$$q_n(p) = \sum_{i=0}^{n/2} C_n^i \cdot p^i \cdot (1-p)^{n-i}$$

и имеет асимптотическое приближение при $n \rightarrow \infty$:

$$q_n(p) \approx \Phi \left(-\sqrt{n} \frac{p - \frac{1}{2}}{\sqrt{p(1-p)}} \right) \xrightarrow{n \rightarrow \infty} 0.$$

Доказательство. Наименьшая вероятность ошибки достигается для следующей статистики [7]:

$$\hat{Y} = \begin{cases} 1, & \text{если } \hat{p} \geq \frac{1}{2}, \\ 0, & \text{если } \hat{p} < \frac{1}{2}. \end{cases}$$

Вычислим вероятность ошибки прогнозирования при истинном значении $p \geq \frac{1}{2}$:

$$q_n(p) := P\left\{\hat{p} < \frac{1}{2}\right\} = P\left\{n\hat{p} < \frac{n}{2}\right\} = \mathcal{L}\{n\hat{p}\} = Bi(n, p) = \sum_{i=0}^{n/2} C_n^i \cdot p^i \cdot (1-p)^{n-i}.$$

Тогда в силу ЦПТ [7] $Bi(n, p) \approx Bi(np, npq)$ для $n \gg 1$:

$$q_n(p) \approx \Phi\left(\frac{\frac{n}{2} - np}{\sqrt{np(1-p)}}\right) = \Phi\left(-\sqrt{n} \frac{p - \frac{1}{2}}{\sqrt{p(1-p)}}\right) \xrightarrow{n \rightarrow \infty} 0.$$

На рисунке 4 представлен график зависимости точной вероятности ошибки прогнозирования $q_n(p)$ для разного объема выборки n от значения вероятности p .

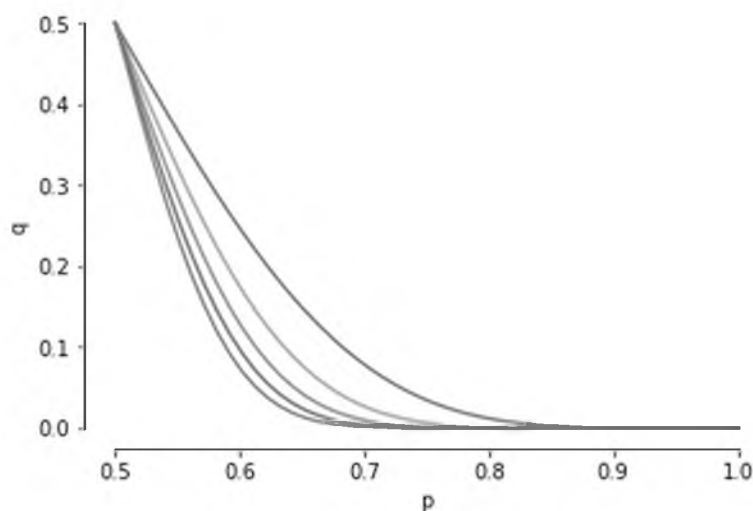


Рисунок 4. Зависимость $q_n(p)$ от вероятности p $n = 11, 21, \dots, 51$

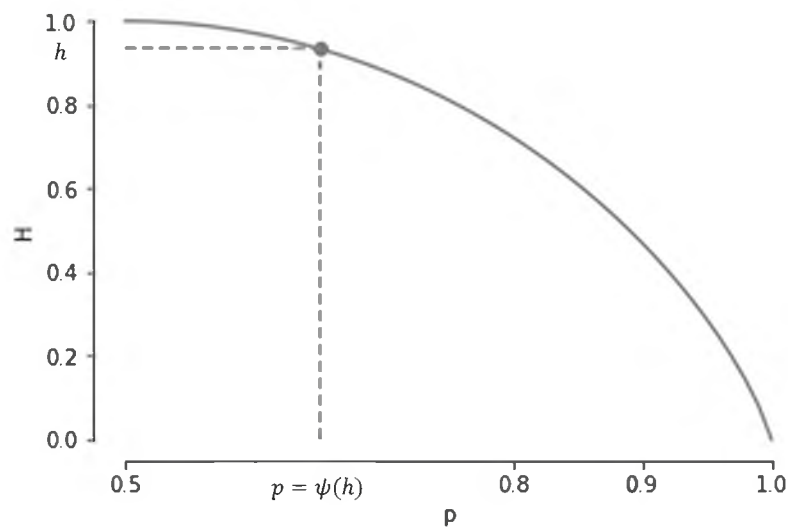
Определим обратную функцию $\psi(\cdot): \{0,1\} \rightarrow \{0,1\}$ такую, что:

$$p = \psi(h), \quad H_{\psi(h)} \equiv h.$$

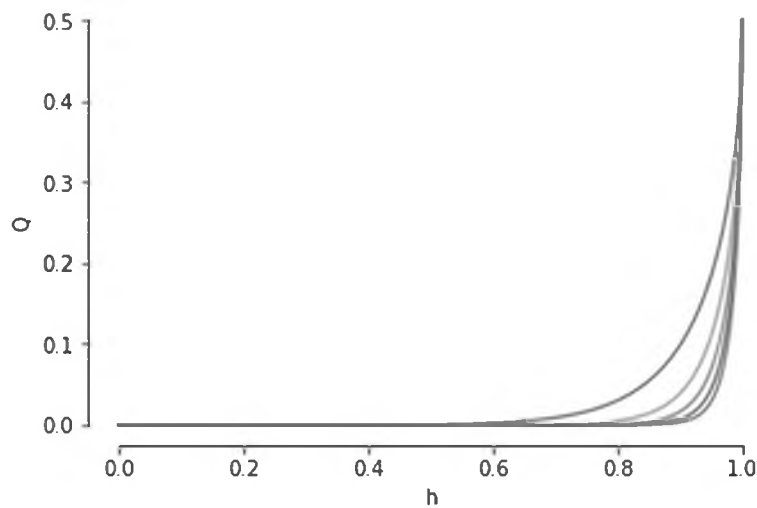
Зависимость между энтропией H_p и вероятностью «успеха» p представлена на рисунке 5.

Следствие. Вероятность ошибки прогнозирования $q_n(p)$ можно представить в следующем асимптотическом виде при $n \rightarrow \infty$:

$$q_n(p) \approx \Phi\left(-\sqrt{n} \frac{\psi(h) - \frac{1}{2}}{\sqrt{\psi(h)(1-\psi(h))}}\right) := Q_n(h).$$

Рисунок 5. Зависимость H_p от вероятности p

Построенная функция $Q_n(h)$ определяет монотонную зависимость вероятности ошибки прогнозирования от энтропии h . График этой функции для различного объема выборки n представлен на рисунке 6.

Рисунок 6. Зависимость $Q_n(h)$ от энтропии h $n = 11, 21, \dots, 51$

Список литературы

1. Shannon, C. E. A Mathematical Theory of Communication / C.E. Shannon // Reprinted with corrections from The Bell System Technical Journal, Vol. 27, pp. 379–423, 623–656, July, October, 1948
2. Криптология: учебник / Ю.С.Харин, С.В.Агиевич, Д.В.Васильев, Г.В.Матвеев – Минск: БГУ, 2013.

3. L'Ecuyer, P. History of uniform random number generation. In Proceedings of the WSC 2017 – Winter Simulation Conference, Las Vegas, NV, USA, 3-6 December 2017.
4. Кивель, О. С. Вероятностный анализ стойкости итерационного криптографического преобразования Фейстеля / О.С.Кивель, Ю.С.Харин // Комплексная защита информации: материалы XXIV науч.-практ. конф., Витебск, 21-23 мая 2019 г. – Витебск : ВГТУ, 2019 – С. 232 – 238
5. Математические основы теории информации : учеб. пособие / Ю. С. Харин, И. А. Бодягин, Е. В. Вечерко. – Минск : БГУ, 2018. – 19 с.
6. Криптографические алгоритмы шифрования и контроля целостности: СТБ 34.101.31–2007. – Введ. 31.01.2011. – Минск: Госстандарт, 2011– 4 с.
7. Теория вероятностей, математическая и прикладная статистика : учебник / Ю. С. Харин, Н. М. Зуев, Е. Е. Жук. – Минск: БГУ, 2011.

УДК 004.056

ПОДХОД К РЕАЛИЗАЦИИ СИСТЕМЫ ЖМУЛЯЦИИ ДЕЙСТВИЙ НАРУШИТЕЛЯ ДЛЯ ПОДГОТОВКИ СПЕЦИАЛИСТОВ ПО ИБ

Д.М. КОРОЛЬ

*«МИРЭА – Российский технологический университет»
г. Москва, 119454, Российская Федерация*

Введение

Вопросы, связанные с прикладным решением задач в сфере информационной безопасности, набирают свою актуальность. С развитием информационных технологий многие теоретические, ранее недоступные для реализации, средства воплощаются в жизнь. Однако они порождают множество уязвимостей, связанных с ними. В этой связи компетентный специалист по информационной безопасности должен уметь находить уязвимости, и подтверждать возможность их эксплуатации. В докладе представлены концепция, проведения практических занятий и описаны средства её реализации, оптимизирующие процесс освоения студентами практических навыков за счёт автоматизации затратных по времени этапов, таких как разведка сети и формирование полезной нагрузки. Предлагаемое архитектурное решение обеспечивает непереносимость средств эксплуатации уязвимостей без основательной переработки. В работе кратко описаны архитектура и функционал экспериментального киберполигона «Купол», частью которого является разработанная система эмуляции действий нарушителя. Автором рассмотрены требования для разработанной системы, описаны её основные модули и рассмотрены особенности их реализации. Дополнительно приведены возможные сценарии проведения практических занятий на киберполигоне «Купол» и роль спроектированной системы в них.